



GOBIERNO
DE ESPAÑA

MINISTERIO
DE AGRICULTURA Y PESCA,
ALIMENTACIÓN Y MEDIO AMBIENTE



CONFEDERACIÓN
HIDROGRÁFICA
DEL EBRO

2017

ESTABLECIMIENTO DE UNA METODOLOGÍA PARA EL SEGUIMIENTO DEL POTENCIAL ECOLÓGICO VS. ESTADO TRÓFICO DE LOS EMBALSES DE LA CUENCA DEL EBRO

INFORME FINAL DEL EMBALSE DE IRABIA



ÁREA DE CALIDAD DE AGUAS
CONFEDERACIÓN HIDROGRÁFICA DEL EBRO





ESTABLECIMIENTO DE UNA METODOLOGÍA PARA EL SEGUIMIENTO DEL POTENCIAL ECOLÓGICO VS. ESTADO TRÓFICO DE LOS EMBALSES DE LA CUENCA DEL EBRO

PROMOTOR:

CONFEDERACIÓN HIDROGRÁFICA DEL EBRO



DIRECCIÓN DEL PROYECTO:

Vicente Sancho Tello Valls y María José Rodríguez Pérez

EMPRESA CONSULTORA:

Instituto Cavanilles de Biodiversidad y Biología Evolutiva de la Universidad de Valencia Estudi General

EQUIPO DE TRABAJO:

Área de Limnología, dirigida por Dr. Eduardo Vicente Pedrós, Catedrático de Ecología. Director del Estudio.

PRESUPUESTO DE LA ADJUDICACIÓN:

89.000,00 €

CONTENIDO:

INFORME INDIVIDUAL DEL EMBALSE DE IRABIA

AÑO DE EJECUCIÓN:

2017

FECHA ENTREGA:

DICIEMBRE 2017



REFERENCIA IMÁGENES PORTADA:

Vista de la presa del embalse de Irabia desde el punto de toma de muestras.

CITA DEL DOCUMENTO: Confederación Hidrográfica del Ebro (2017). Establecimiento de una metodología para el seguimiento del potencial ecológico vs. estado trófico de los embalses de la cuenca del Ebro. 212 págs. más anejos. Disponible en PDF en la web: <http://www.chebro.es>

El presente informe pertenece al Dominio Público en cuanto a los Derechos Patrimoniales recogidos por el Convenio de Berna. Sin embargo, se reconocen los Derechos de los Autores y de la Confederación Hidrográfica del Ebro a preservar la integridad del mismo, las alteraciones o la realización de derivados sin la preceptiva autorización administrativa con fines comerciales, o la cita de la fuente original en cuanto a la infracción por plagio o colusión. A los efectos prevenidos, las autorizaciones para uso no científico del contenido deberán solicitarse a la Confederación Hidrográfica del Ebro.



ÍNDICE

	Página
1. INTRODUCCIÓN.....	7
2. DESCRIPCIÓN GENERAL DEL EMBALSE Y DE LA CUENCA VERTIENTE.....	7
2.1. <i>Ámbito geológico y geográfico.....</i>	<i>7</i>
2.2. <i>Características morfológicas e hidrológicas.....</i>	<i>8</i>
2.3. <i>Usos del agua.....</i>	<i>9</i>
2.4. <i>Registro de zonas protegidas.....</i>	<i>9</i>
3. TRABAJOS REALIZADOS	10
4. DIAGNÓSTICO DE LA SITUACIÓN ACTUAL.....	11
4.1. <i>Características físicoquímicas de las aguas.....</i>	<i>11</i>
4.2. <i>Hidroquímica del embalse.....</i>	<i>14</i>
4.3. <i>Fitoplancton y concentración de clorofila.....</i>	<i>15</i>
4.4. <i>Zooplancton.....</i>	<i>19</i>
5. DIAGNÓSTICO DEL GRADO TRÓFICO	21
6. DIAGNÓSTICO DEL POTENCIAL ECOLÓGICO	22
ANEXO I. REPORTAJE FOTOGRÁFICO	

ÍNDICE DE FIGURAS Y TABLAS

ÍNDICE DE FIGURAS CORRESPONDIENTES A GRÁFICOS Y FOTOS

Figura 1. Volumen embalsado y salida durante el año hidrológico 2016-2017.	9
Figura 2. Localización de la estación de muestreo en el embalse.	10
Figura 3. Perfil vertical de temperatura y pH.	11
Figura 4. Perfil vertical de la extinción luminosa y el oxígeno disuelto.	12
Figura 5. Perfil vertical de la conductividad y de la materia orgánica disuelta cromofórica.	13
Figura 6. Perfil vertical de la clorofila <i>a</i>	16
Figura 7. Vista de la cola del embalse.	28
Figura 8. Vista del punto de acceso al embalse.	28

ÍNDICE DE TABLAS

Tabla 1. Características morfométricas del embalse de Irabia.	8
Tabla 2. Concentración de los diferentes nutrientes analizados en las muestras integradas.	14
Tabla 3. Estructura y composición de la comunidad de fitoplancton.	15
Tabla 4. Composición detallada de la comunidad de fitoplancton.	16
Tabla 5. Estructura y composición de la comunidad de zooplancton.	19
Tabla 6. Composición detallada de la comunidad de zooplancton.	20
Tabla 7. Parámetros indicadores y rangos de estado trófico.	21
Tabla 8. Diagnóstico del estado trófico del embalse de Irabia.	21
Tabla 9. Parámetros y rangos para la determinación del potencial ecológico experimental.	22
Tabla 10. Combinación de los indicadores.	23
Tabla 11. Diagnóstico del potencial ecológico del embalse de Irabia.	23
Tabla 12. Valores de referencia propios del tipo (VR_t) y límites de cambio de clase de potencial ecológico de los indicadores de los elementos de calidad de embalses (RD 817/2015).	24
Tabla 13. Parámetros, rangos del RCE y valores para la determinación del potencial ecológico normativo.	25
Tabla 14. Combinación de los indicadores.	25
Tabla 15. Diagnóstico del potencial ecológico (PE_{norm}) del embalse de Irabia.	26



1. INTRODUCCIÓN

El presente documento recoge los resultados de los trabajos realizados en el embalse de Irabia durante los muestreos de 2017 y la interpretación de los mismos, a efectos de proporcionar una referencia que facilite la consulta y explotación de la información obtenida.

En general, se recurre a presentaciones gráficas y sintéticas de la información, acompañadas de un texto conciso, lo que permitirá una consulta ágil y rápida del documento.

En el **Anexo I** se presenta un reportaje fotográfico que refleja el estado del embalse durante el periodo estudiado (verano 2017, correspondiente al año hidrológico 2016-2017).

En apartados sucesivos se comentan los siguientes aspectos:

- Resultados del estudio en el embalse (FASE DE CARACTERIZACIÓN) de todos los aspectos tratados (hidrológicos, fisicoquímicos y biológicos), que culminan en el diagnóstico del grado trófico.
- Clasificación del “Potencial Ecológico experimental”, tras la aplicación de los indicadores biológicos, propuestos en la MEMORIA DEL ESTUDIO, y fisicoquímicos, propuestos en la Directiva Marco del Agua.
- Clasificación del “Potencial Ecológico normativo”, tras la aplicación de los indicadores biológicos y fisicoquímicos propuestos en la Directiva Marco del Agua.

2. DESCRIPCIÓN GENERAL DEL EMBALSE Y DE LA CUENCA VERTIENTE

2.1. **Ámbito geológico y geográfico**

La cuenca vertiente del embalse de Irabia se encuentra situada en la Selva de Irati, en el Pirineo Navarro, dentro del término municipal de Orbaizeta, en la provincia de Navarra. Regula las aguas del río Irati

En términos geológicos, el embalse de Irabia se encuentra sobre materiales del Paleógeno, series Eoceno-Paleoceno: materiales dolomías y calizas con niveles margosos, areniscas y lutitas en facies turbidíticas.



2.2. Características morfométricas e hidrológicas

Se trata de un embalse de pequeñas dimensiones, de geometría ondulada y regular.

La cuenca vertiente al embalse de Irabia tiene una superficie total de 8320 ha.

El embalse tiene una capacidad total de 13,81 hm³. Caracterizado por una profundidad media de 17,50 m, mientras que la profundidad máxima alcanza los 69 m.

En la tabla 1 se presentan las características morfométricas del embalse.

Tabla 1. Características morfométricas del embalse de Irabia

Superficie de la cuenca	116 ha
Capacidad total N.M.N.	13,81 hm ³
Capacidad útil	13,59 hm ³
Superficie inundada	114 ha
Cota máximo embalse normal	813,18 msnm

Tipo de clasificación: 7. Monomítico, calcáreo, de zona húmeda, perteneciente a ríos de cabecera y tramo alto, con temperatura media anual menor de 15 °C.

Se trata de un embalse monomítico de zonas frías y geología calcárea. En el momento del muestreo no había estratificación de la masa de agua. El límite inferior de la capa fótica se encuentra a 13,0 metros de profundidad determinado mediante medidor fotoeléctrico, aunque la estimación mediante el Disco de Secchi era de 12,5 m.

El tiempo de residencia hidráulica media en el embalse del Ebro para el año hidrológico 2016-2017 es de 3,75 meses. Este dato se ha estimado a partir del caudal de salida ecológico y las variaciones de volumen del embalse.

En la figura 1 se presentan los valores diarios del volumen embalsado y salida media correspondientes al año hidrológico 2016-2017.

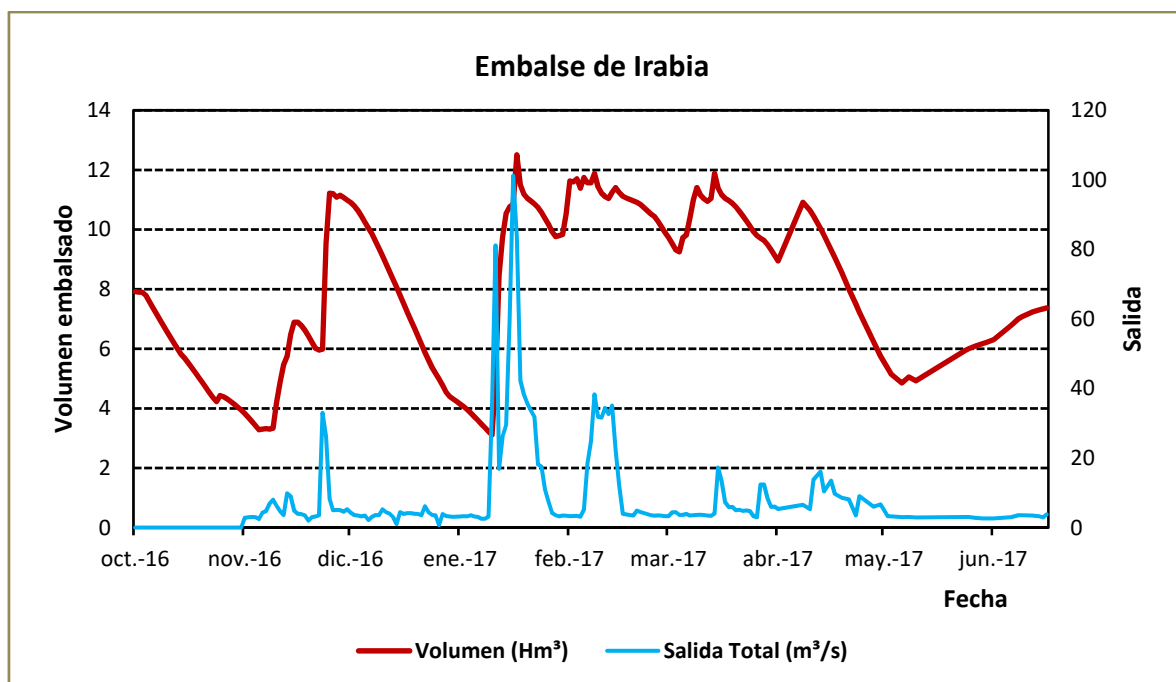


Figura 1. Volumen embalsado y salida durante el año hidrológico 2016-2017.

2.3. Usos del agua

Las aguas del embalse se destinan principalmente al aprovechamiento hidroeléctrico.

2.4. Registro de zonas protegidas

El embalse de Irabia forma parte del Registro de Zonas Protegidas elaborado por la Confederación Hidrográfica del Ebro, en contestación al artículo 6 de la Directiva Marco del Agua, en la categoría de zonas de protección de hábitats o especies (Punto Red Natura 2000: LIC y ZEPA "Selva de Irati-Roncesvalles" ES0000126).

3. TRABAJOS REALIZADOS

Para acometer la caracterización del embalse se ha ubicado una estación de muestreo en las inmediaciones de la presa (ver figura 2). Se ha completado una campaña de muestreo el 18 de Julio de 2017, en la que se midieron *in situ* los parámetros fisicoquímicos y la transparencia en la columna de agua, se tomó una muestra de agua integrada y otras puntuales para los análisis químicos y se realizaron muestreos de fitoplancton y zooplancton.

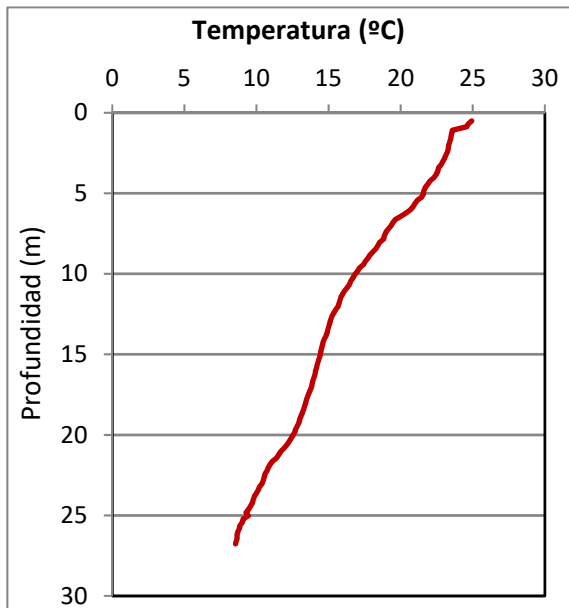


Figura 2. Localización de la estación de muestreo en el embalse.

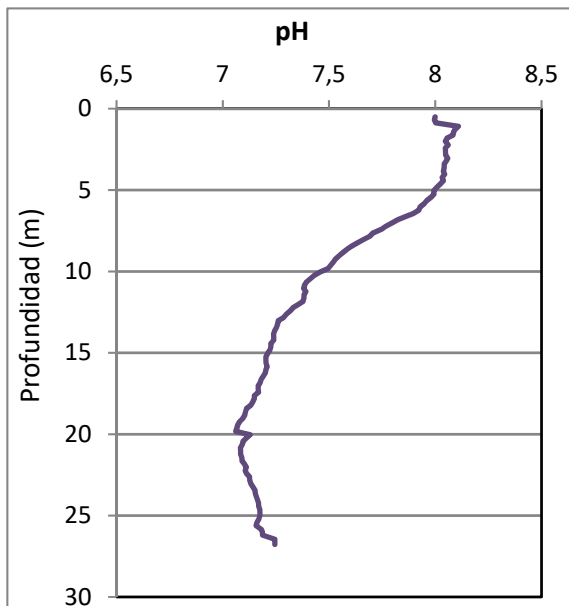
DIAGNÓSTICO DE LA SITUACIÓN ACTUAL

3.1. Características fisicoquímicas de las aguas

De los resultados obtenidos se desprenden las siguientes apreciaciones:

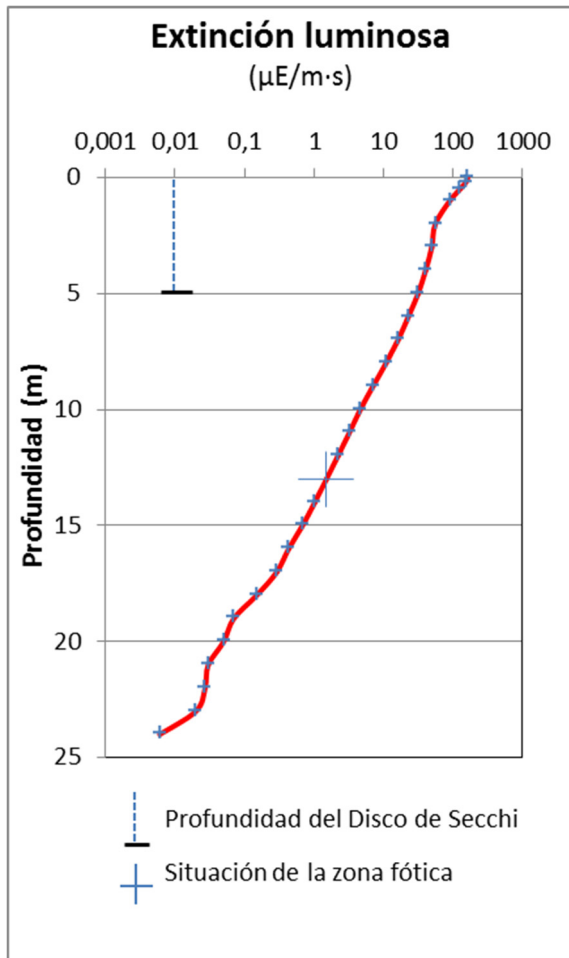


La temperatura del agua oscila entre los 8,54 °C en el fondo y los 24,93 °C -máximo registrado en superficie-. En el momento del muestreo (18 Julio 2017) no existe termoclina.



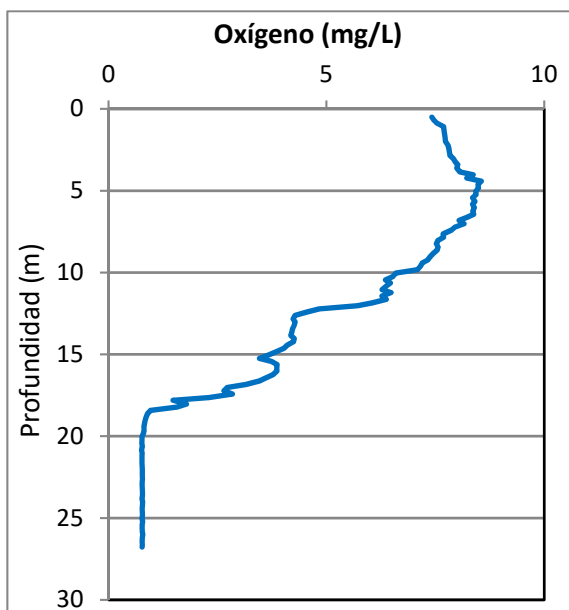
El pH del agua en superficie es de 8,00 y, en el fondo de 7,25. Presenta un valor máximo a 1 m de profundidad con un valor de 8,11 y un mínimo a 20 m de profundidad con un valor de 7,06.

Figura 3. Perfiles verticales de la temperatura y el pH.



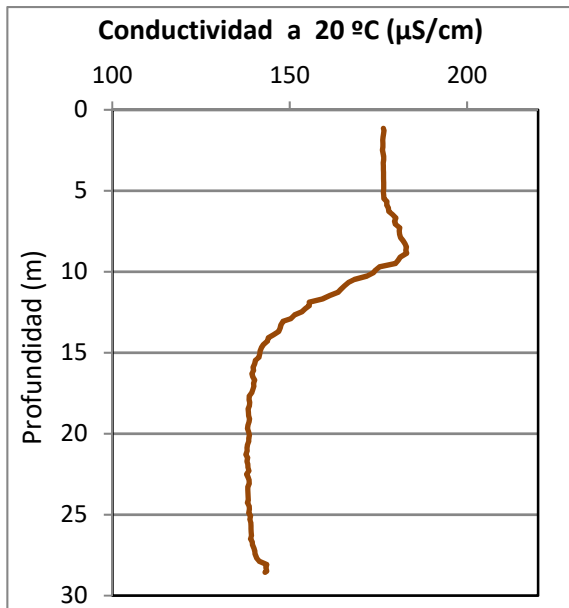
La transparencia del agua registrada en la lectura del disco de Secchi (DS) es de 5,0 m, lo que supone una profundidad de la capa fótica de 12,5 metros. Sin embargo, la capa fótica determinada con medidor fotoeléctrico es de 13,0 m, por lo que a efectos de muestreo se considera ese espesor de columna de agua.

La turbidez media de la zona eufótica (muestra integrada de 13 m de profundidad) fue de 1,00 UAF.

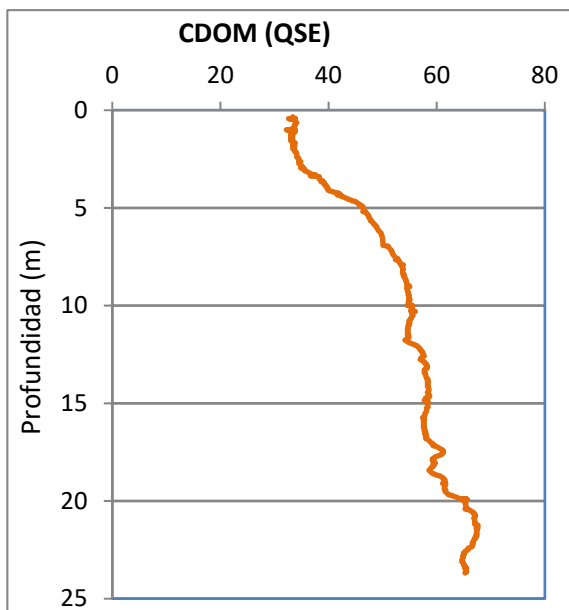


Las condiciones de oxigenación de la columna de agua en la zona epilimnética teórica (unos 13 m) alcanzan en el muestreo una concentración media de 7,35 mg/L. Se han detectado condiciones anóxicas (<2 mg O_2/L) a partir de los 18 metros de profundidad.

Figura 4. Perfiles verticales de la extinción luminosa y el oxígeno disuelto.



La conductividad del agua es de 176 $\mu\text{S}/\text{cm}$ en la superficie y de 143 $\mu\text{S}/\text{cm}$ en el fondo. Se observa un aumento paulatino desde la superficie hasta los 9 m, donde se alcanza el máximo de conductividad con 182 $\mu\text{S}/\text{cm}$. Posteriormente hay descenso hasta los 15 metros de profundidad, donde la conductividad se estabiliza sobre los 138 $\mu\text{S}/\text{cm}$.



El CDOM del agua es de 33 QSE (equivalentes de sulfato de quinina) en la superficie y de 65 QSE en el fondo. El valor máximo de CDOM se registra a 21 m de profundidad con 67 QSE.

Figura 5. Perfil vertical de la conductividad y de la materia orgánica disuelta cromofórica.



3.2. Hidroquímica del embalse

De los resultados analíticos obtenidos en la campaña de 2017 en la muestra integrada, se desprenden los resultados de la tabla 2.

Tabla 2. Concentración de los diferentes nutrientes -analizados en las muestras integradas.

PARÁMETRO	UNIDAD	VALOR
PROFUNDIDAD CAPA FÓTICA	m	13,0
AMONIO	mg NH ₄ /L	0,036
FÓSFORO TOTAL	µg P/L	8,53
FÓSFORO SOLUBLE	µg P/L	0,33
NIO (NO ₃ + NO ₂)	mg N/L	0,10
NITRÓGENO TOTAL	mg N/L	0,32
SÍLICE	mg SiO ₂ /L	1,66
ALCALINIDAD	meq/L	1,64

3.3. Fitoplancton y concentración de clorofila

En el análisis de fitoplancton se han identificado un total de 36 especies, distribuidas en los siguientes grupos taxonómicos:

BACILLARIOPHYCEAE	4
CHRYSTOPHYCEAE	5
SYNUROPHYCEAE	2
XANTHOPHYCEAE	1
CHLOROPHYTA	10
ZYGNEMATOPHYCEAE	1
CYANOBACTERIA	1
CRYPTOPHYCEAE	4
DINOPHYCEAE	6
EUGLENOPHYCEAE	2

La estructura de la comunidad de fitoplancton se resume en la tabla 3 y la composición detallada en la tabla 4.

Tabla 3. Estructura y composición de la comunidad de fitoplancton.

PARÁMETRO	UNIDAD	VALOR
Nº CÉLULAS TOTALES	nº cél./ml	2145
BIOVOLUMEN TOTAL	µm³/ml	4401980
Diversidad Shannon-Wiener		3,21
CLASE PREDOMINANTE (DENSIDAD)		Chlorophyceae
Nº células/ml		1460
ESPECIE PREDOMINANTE (DENSIDAD)		<i>Crucigeniella rectangularis</i>
Nº células/ml		699
CLASE PREDOMINANTE (BIOVOLUMEN)		Chlorophyceae
µm³/ml		4130234
ESPECIE PREDOMINANTE (BIOVOLUMEN)		<i>Haematococcus pluvialis</i>
µm³/ml		4041443

La concentración de clorofila fue de 3,25 µg/L para la muestra integrada, cuya profundidad se ha señalado en la figura 6 con una línea roja. En el perfil vertical se observa mediante el sensor de fluorimetría un máximo a 9 m de profundidad, al final del epilimnion, con una concentración de 5,6 µg/L.

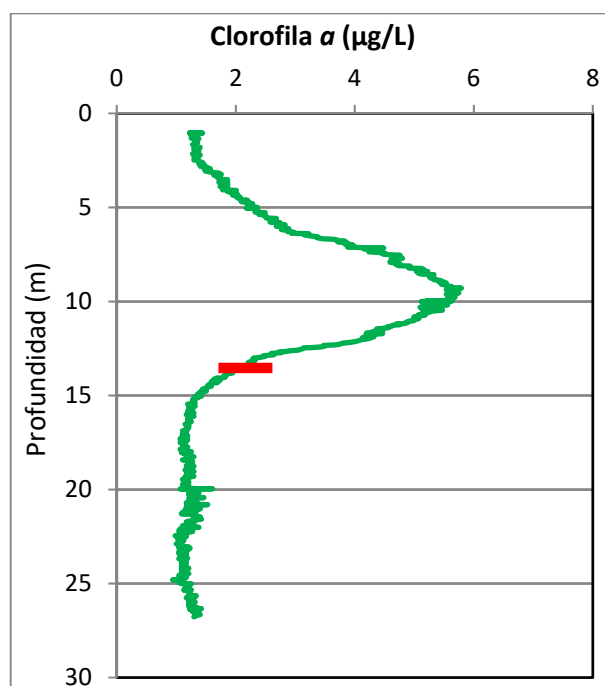


Figura 6. Perfil vertical de la clorofila a.

La composición de la población fitoplanctónica de la muestra integrada de la zona fótica indicando su abundancia y biovolumen, y la densidad cualitativa de la muestra integrada de fitoplancton del muestreo vertical con red de plancton, muestran los resultados de la tabla 4:

Tabla 4. Composición detallada de la comunidad de fitoplancton.

COD_EMB_LW	COMPOSICIÓN	ABUNDANCIA	BIOVOLUMEN	CUALITATIVO
	FITOPLANCTON	cél./ml	µm ³ /ml	(1 al 5)
	BACILLARIOPHYCEAE/CENTRALES/			
CYCLOCEL0	<i>Cyclotella ocellata</i> (<i>Lindavia ocellata</i>)	70,85	27.824,04	2
CYCLRADIO	<i>Cyclotella radiosa</i> (= <i>Lindavia radiosa</i>)	14,17	25.241,97	1
	BACILLARIOPHYCEAE /PENNALES/			
FRAGIGEN0	<i>Fragilaria</i> sp.	1,84	477,76	1
FRAULACU2	<i>Ulnaria acus</i> (= <i>Fragilaria ulna</i> var. <i>acus</i>)	0,23	729,90	1
FRAGULNA0	<i>Ulnaria ulna</i> (= <i>Fragilaria ulna</i>)			1
	CHRYSOPHYCEAE			
CHRYOGEN0	<i>Chrysochromulina</i> sp.	51,96	1.662,69	
DINOBAVA0	<i>Dinobryon bavaricum</i>	21,26	3.703,38	2
DINOCREN0	<i>Dinobryon crenulatum</i>	18,89	4.847,57	
DINODIVE0	<i>Dinobryon divergens</i>	4,72	822,97	2
STICDOED0	<i>Stichogloea doederleinii</i>	56,68	11.634,16	3



COD_EMB_LW	COMPOSICIÓN	ABUNDANCIA	BIOVOLUMEN	CUALITATIVO
	FITOPLANCTON	cél./ml	µm ³ /ml	(1 al 5)
	SYNUROPHYCEAE			
MALLMINU0	<i>Mallomonas minuta</i>	2,36	2.094,84	1
MALLTONS0	<i>Mallomonas tonsurata</i>	7,09	13.889,76	1
	XANTHOPHYCEAE			
TRACLENT0	<i>Trachydiscus lenticularis</i>	37,79	3.561,48	
	CHLOROPHYTA			
CHLAMGEN0	<i>Chlamydomonas</i> sp.	4,72	848,32	
CLOSACIR0	<i>Closteriopsis acicularis</i>	0,69	225,50	1
COELMICR0	<i>Coelastrum microporum</i>	9,45	618,31	
COENHIND0	<i>Coenochloris hindakii</i>			1
CRUCRECT0	<i>Crucigeniella rectangularis</i>	699,09	44.741,52	4
ELAKGELA0	<i>Elakathrix gelatinosa</i>	2,36	100,17	1
HAEMPLUV0	<i>Haematococcus pluvialis</i>	316,48	4.041.443,27	1
KIRCOBES0	<i>Kirchneriella obesa</i>	2,36	27,05	
OOCYMARS0	<i>Oocystis marssonii</i>	9,45	2.136,89	
PANDMORU0	<i>Pandorina morum</i>			1
SPHAPLAN0	<i>Sphaerocystis planctonica</i>	94,47	16.966,48	2
TETRKOMA0	<i>Tetrastrum komarekii</i>	321,20	23.126,53	1
	ZYGNEMATOPHYCEAE			
MESOENDL0	<i>Mesotaenium endlicherianum</i>	2,36	2.608,50	
	CYANOBACTERIA			
APHANGEN0	<i>Aphanothece</i> sp.	236,18	333,89	2
PSEUDGEN0	<i>Pseudanabaena</i> sp.			1
	CRYPTOPHYCEAE			
CRYPERSO0	<i>Cryptomonas erosa</i>	33,06	79.034,17	
CRYPMARS0	<i>Cryptomonas marsonii</i>	23,62	13.454,47	
CRYPOVAT0	<i>Cryptomonas ovata</i>	2,36	3.291,89	
CRYPTGEN0	<i>Cryptomonas</i> sp.			1
PLAGLACU0	<i>Plagioselmis (=Rhodomonas) lacustris</i>	85,02	11.485,76	
	DINOPHYCEAE			
GYMNHV00	<i>Gymnodinium helveticum</i>	0,23	1.894,20	
GYMNUBER0	<i>Gymnodinium uberrimum</i>	1,84	24.322,76	
GYMNVAVR0	<i>Gymnodinium wawriake</i>	9,45	15.670,50	
PERIACIC0	<i>Peridinium aciculiferum</i>	0,92	7.937,61	1
PERICINC0	<i>Peridinium cinctum</i>	0,23	11.507,13	1
PERIUMBO0	<i>Peridinium umbonatum (Parvodinium umbonatum)</i>	0,46	1.091,06	1
	EUGLENOPHYCEAE			
EUGLOXYU0	<i>Euglena oxyuris</i>			1
EUGLVIRI0	<i>Euglena viridis</i>	0,46	2.032,51	
PHACTORT0	<i>Phacus tortus</i>			1
TRACVOLV0	<i>Traquelomonas volvocina</i>	0,23	590,87	



COD_EMB_LW	COMPOSICIÓN	ABUNDANCIA	BIOVOLUMEN	CUALITATIVO
	FITOPLANCTON	cél./ml	µm ³ /ml	(1 al 5)
	TOTALES BACILLARIOPHYCEAE	87,09	54.273,67	
	TOTALES CHRYSOPHYCEAE	153,52	22.670,77	
	TOTALES SYNUROPHYCEAE	9,45	15.984,60	
	TOTALES XANTHOPHYCEAE	37,79	3.561,48	
	TOTALES CHLOROPHYTA	1.460,27	4.130.234,05	
	TOTALES ZYGNEMATOPHYCEAE	2,36	2.608,50	
	TOTALES CYANOBACTERIA	236,18	333,89	
	TOTALES CRYPTOPHYCEAE	144,07	107.266,30	
	TOTALES DINOPHYCEAE	13,12	62.423,27	
	TOTALES EUGLENOPHYCEAE	0,69	2.623,38	
	TOTALES ALGAS	2.144,53	4.401.979,91	

Nota: Entre paréntesis se cita el anterior nombre de la especie.

Clases de abundancia	% de presencia
1	<9
2	10-24
3	25-60
4	61-99
5	>99

Zooplancton

En el análisis de zooplancton de las muestras del embalse de Irabia se han identificado un total de 11 especies, distribuidas en los siguientes grupos taxonómicos:

- 4 Cladocera
- 1 Copepoda
- 6 Rotifera

La estructura y composición de la comunidad de zooplancton se resume en la tabla 5:

Tabla 5. Estructura y composición de la comunidad de zooplancton.

PARÁMETRO	UNIDAD	VALOR
PROFUNDIDAD	m	13,0
DENSIDAD TOTAL	individuos/L	160,00
BIOMASA TOTAL	µg/L	26,55
Diversidad Shannon-Wiener		2,13
CLASE PREDOMINANTE (DENSIDAD)		Rotíferos
individuos/L		103,08
ESPECIE PREDOMINANTE (DENSIDAD)		<i>Polyarthra dolichoptera</i>
individuos/L		67,69
CLASE PREDOMINANTE (BIOMASA)		Cladóceros
µg/L		8,90
ESPECIE PREDOMINANTE (BIOMASA)		Fam. Cyclopidae
µg/L		8,77
COLUMNA AGUA INTEGRADA (red vertical)		0 - 26 m
CLADÓCEROS: 6,00 %	COPÉPODOS: 14,81 %	ROTÍFEROS: 79,18 %

La composición detallada de la población zooplanctónica presente en la muestra cuantitativa de zooplancton indicando la densidad y biomasa, y el porcentaje de las especies presentes en la muestra integrada de la red vertical, se muestran en la tabla 6:

Tabla 6. Composición detallada de la comunidad de zooplancton.

CÓDIGO	COMPOSICIÓN	ABUNDANCIA	BIOMASA	PORCENTAJE
TAXÓN	ZOOPLANCTON	Ind./L	mg/L	(1 al 5)
	CLADÓCEROS			
BOSMLONG0	<i>Bosmina longirostris</i>	0,19	0,25	1
CERIPULC0	<i>Ceriodaphnia pulchella</i>	0,77	0,92	1
DAPHCUCU0	<i>Daphnia cucullata</i>	0,38	1,15	1
DAPHLONG0	<i>Daphnia longispina</i>	1,73	6,58	1
	COPÉPODOS			
ACANAMER0	<i>Acanthocyclops americanus</i>			1
CYCLLACU0	<i>Cyclops cf lacustris</i>			1
CYCLVICI0	<i>Cyclops vicinus</i>			1
CYCLOPFAM	Fam. Cyclopidae	53,85	8,77	2
	ROTÍFEROS			
ASCOOVAL0	<i>Ascomorpha ovalis</i>	1,54	0,10	1
ASPLPRIO0	<i>Asplanchna priodonta</i>			1
FILILONG0	<i>Filinia longiseta</i>			1
GASTSTYLO	<i>Gastropus stylifer</i>	4,62	0,92	1
POLYDOLI0	<i>Polyarthra dolichoptera</i>	67,69	3,45	3
POLYLUMI0	<i>Polyarthra luminosa</i>	7,69	0,39	1
SYNCLONG0	<i>Synchaeta longipes</i>	7,69	2,56	
SYNCSTYLO	<i>Synchaeta stylata</i>	13,85	1,45	2
TRICSIMI0	<i>Trichocerca similis</i>			1
	Total Cladóceros	3,08	8,90	6,00
	Total Copépodos	53,85	8,77	14,81
	Total Rotíferos	103,08	8,88	79,18
	Total	160,00	26,55	100

Nota: Entre paréntesis se cita el anterior nombre de la especie.

Clases de abundancia	% de presencia
1	<9
2	10-24
3	25-60
4	61-99
5	>99

4. DIAGNÓSTICO DEL GRADO TRÓFICO

Se han considerado los indicadores especificados en la tabla 7 para los valores medios en el embalse, estableciéndose el estado trófico global del embalse según la metodología descrita en la sección 5 de la MEMORIA DEL ESTUDIO.

Tabla 7. Parámetros indicadores y rangos de estado trófico.

Parámetros Estado Trófico	Ultraoligotrófico	Oligotrófico	Mesotrófico	Eutrófico	Hipereutrófico
Concentración P ($\mu\text{g P /L}$)	0-4	4-10	10-35	35-100	>100
Disco de Secchi (m)	>6	6-3	3-1,5	1,5-0,7	<0,7
Clorofila a ($\mu\text{g/L}$) epilimnion	0-1	1-2,5	2,5-8	8,0-25	>25
Densidad algal (cel/ml)	<100	100-1000	1000-10000	10000-100000	>100000
VALOR PROMEDIO FINAL	< 1,8	1,8 – 2,6	2,6 – 3,4	3,4 – 4,2	> 4,2

En la tabla 8 se incluye el estado trófico indicado por cada uno de los parámetros, así como la catalogación de la masa de agua según la valoración de este estado trófico final.

Tabla 8. Diagnóstico del estado trófico del embalse de Irabia.

INDICADOR	VALOR	ESTADO TRÓFICO
P TOTAL	8,53	Oligotrófico
CLOROFILA <i>a</i>	3,25	Mesotrófico
DISCO SECCHI	5,00	Oligotrófico
DENSIDAD ALGAL	2145	Mesotrófico
ESTADO TRÓFICO FINAL	2,50	OLIGOTRÓFICO

Atendiendo a los criterios seleccionados, la densidad algal y la Clorofila *a* clasifican el embalse como mesotrófico, mientras que la transparencia y el fósforo total indican un estado de oligotrofia. Combinando todos los indicadores el estado trófico final para el embalse de IRABIA ha resultado ser **OLIGOTRÓFICO**.

5. DIAGNÓSTICO DEL POTENCIAL ECOLÓGICO

a) Aproximación experimental (PE_{exp})

Se han considerado los indicadores especificados en la tabla 9, estableciéndose el potencial ecológico del embalse según la metodología descrita en la sección 6.3, apartado a) de la MEMORIA DEL ESTUDIO.

Tabla 9. Parámetros y rangos para la determinación del potencial ecológico experimental.

Indicador	Elementos	Parámetros	Bueno o superior	Moderado	Deficiente	Malo	
Biológico	Fitoplancton	Densidad algal (cel/ml)	< 10 ³	10 ³ -10 ⁴	10 ⁴ -10 ⁵	>10 ⁵	
		Biomasa algal, Clorofila <i>a</i> (µg/L)	< 2,5	2,5-8	8,0-25	>25	
		Biovolumen algal (mm ³ /L)	< 0,5	0,5-2	2-8	>8	
		<i>Phytoplankton Assemblage Index (Q)</i>	> 3	2-3	1-2	<1	
		<i>Trophic Index (TI)</i>	< 2,79	2,79-3,52	3,52-4,25	>4,25	
		<i>Phytoplankton Trophic Index (PTI)</i>	> 3,4	2,6-3,4	1,8-2,6	<1,8	
	<i>Phytoplankton Reservoir Trophic Index (PRTI)</i>	< 6,6	6,6-9,4	9,4-12,2	>12,2		
Zooplancton	<i>Zooplankton Reservoir Trophic Index (ZRTI)</i>	< 6,6	6,6-9,4	9,4-12,2	>12,2		
INDICADOR BIOLÓGICO (1)			< 2,6	2,6 - 3,4	3,4 - 4,2	> 4,2	
Indicador	Elementos	Parámetros	Muy bueno	Bueno	Moderado	Deficiente	Malo
Fisicoquímico	Transparencia	Disco de Secchi (m)	>6	3-6	1,5 -3	0,7 -1,5	<0,7
	Oxigenación	Concentración O ₂ (mg O ₂ /L)	>8	8-6	6-4	4-2	<2
	Nutrientes	Concentración de PT (µg P/L)	0-4	4-10	10-35	35-100	>100
INDICADOR FISICOQUÍMICO (2)			Muy bueno	Bueno	Moderado		
			< 1,6	1,6 - 2,4	> 2,4		

(1) La valoración del indicador biológico se obtiene asignando la calificación del elemento de menor puntuación (fitoplancton o zooplancton) o peor calidad, según la metodología *one out, all out*.

(2) La valoración del indicador fisicoquímico se obtiene asignando la calificación del elemento de menor puntuación o peor calidad, según la metodología *one out, all out*.

La combinación de los dos indicadores, fisicoquímico y biológico, para la obtención del potencial ecológico experimental final sigue el esquema de decisiones indicado en la tabla 10:

Tabla 10. Combinación de los indicadores.

Indicador Biológico	Indicador Fisicoquímico	Potencial Ecológico Experimental
Bueno o superior	Muy bueno	Bueno o superior
Bueno o superior	Bueno	Bueno o superior
Bueno o superior	Moderado	Moderado
Moderado	Indistinto	Moderado
Deficiente	Indistinto	Deficiente
Malo	Indistinto	Malo

En la tabla 11 se incluye el potencial indicado por cada uno de los parámetros e indicadores, así como la catalogación de la masa de agua según el potencial ecológico final.

Tabla 11. Diagnóstico del potencial ecológico del embalse de Irabia.

Indicador	Elementos	Parámetros	Valor	Potencial
Biológico	Fitoplancton	Densidad algal (cel/ml)	2145	Moderado
		Clorofila a ($\mu\text{g/L}$)	3,25	Moderado
		Biovolumen algal (mm^3/L)	4,40	Deficiente
		<i>Phytoplankton Assemblage Index (Q)</i>	2,00	Deficiente
		<i>Phytoplankton Trophic Index (PTI)</i>	3,77	Bueno o superior
		<i>Trophic Index (TI)</i>	2,34	Bueno o superior
		<i>Phytoplankton Reservoir Trophic Index (PRTI)</i>	7,72	Moderado
	Zooplancton	<i>Zooplankton Reservoir Trophic Index (ZRTI)</i>	4,26	Bueno o superior
INDICADOR BIOLÓGICO			3	MODERADO
Fisicoquímico	Transparencia	Disco de Secchi (m)	5,00	Bueno
	Oxigenación	O_2 hipolimnética (mg/L O_2)	4,46	Moderado
	Nutrientes	Concentración de PT ($\mu\text{g/L P}$)	8,53	Bueno
INDICADOR FISICOQUÍMICO			3	MODERADO
POTENCIAL ECOLÓGICO				MODERADO

b) Aproximación normativa (*PE_{norm}*)

Se han considerado los indicadores, los valores de referencia y los límites de clase B⁺/M (Bueno o superior/Moderado), M/D (Moderado/Deficiente) y D/M (Deficiente/Malo), así como sus ratios de calidad ecológica (RCE), especificados en las tablas 12 y 13, estableciéndose el potencial ecológico del embalse según la metodología descrita en la sección 6.3, apartado b) de la MEMORIA DEL ESTUDIO.

Tabla 12. Valores de referencia propios del tipo (VR_t) y límites de cambio de clase de potencial ecológico de los indicadores de los elementos de calidad de embalses (RD 817/2015).

Tipo	Elemento	Parámetro	Indicador	VR _t	B ⁺ /M (RCE)	M/D (RCE)	D/M (RCE)
Tipo 1	Fitoplancton	Biomasa	Clorofila <i>a</i> mg/m ³	2,00	0,211	0,14	0,07
			Biovolumen mm ³ /L	0,36	0,189	0,126	0,063
		Composición	Índice de Catalán (IGA)	0,10	0,974	0,649	0,325
			Porcentaje de cianobacterias	0,00	0,908	0,607	0,303
Tipo 7	Fitoplancton	Biomasa	Clorofila <i>a</i> mg/m ³	2,60	0,433	0,287	0,143
			Biovolumen mm ³ /L	0,76	0,362	0,24	0,12
		Composición	Índice de Catalán (IGA)	0,61	0,982	0,655	0,327
			Porcentaje de cianobacterias	0,00	0,715	0,48	0,24
Tipo 9	Fitoplancton	Biomasa	Clorofila <i>a</i> mg/m ³	2,60	0,433	0,287	0,143
			Biovolumen mm ³ /L	0,76	0,362	0,24	0,12
		Composición	Índice de Catalán (IGA)	0,61	0,982	0,655	0,327
			Porcentaje de cianobacterias	0,00	0,715	0,48	0,24
Tipo 10	Fitoplancton	Biomasa	Clorofila <i>a</i> mg/m ³	2,60	0,433	0,287	0,143
			Biovolumen mm ³ /L	0,76	0,362	0,24	0,12
		Composición	Índice de Catalán (IGA)	0,61	0,982	0,655	0,327
			Porcentaje de cianobacterias	0,00	0,715	0,48	0,24
Tipo 11	Fitoplancton	Biomasa	Clorofila <i>a</i> mg/m ³	2,60	0,433	0,287	0,143
			Biovolumen mm ³ /L	0,76	0,362	0,24	0,12
		Composición	Índice de Catalán (IGA)	0,61	0,982	0,655	0,327
			Porcentaje de cianobacterias	0,00	0,715	0,48	0,24
Tipo 12	Fitoplancton	Biomasa	Clorofila <i>a</i> mg/m ³	2,40	0,195	0,13	0,065
			Biovolumen mm ³ /L	0,63	0,175	0,117	0,058
		Composición	Índice de Catalán (IGA)	1,50	0,929	0,619	0,31
			Porcentaje de cianobacterias	0,10	0,686	0,457	0,229
Tipo 13	Fitoplancton	Biomasa	Clorofila <i>a</i> mg/m ³	2,10	0,304	0,203	0,101
			Biovolumen mm ³ /L	0,43	0,261	0,174	0,087
		Composición	Índice de Catalán (IGA)	1,10	0,979	0,653	0,326
			Porcentaje de cianobacterias	0,00	0,931	0,621	0,31

Tabla 13. Parámetros, rangos del RCE y valores para la determinación del potencial ecológico normativo.

			RANGOS DEL RCE				
Indicador	Elementos	Parámetros	Bueno o superior	Moderado	Deficiente	Malo	
Biológico	Fitoplancton	Clorofila ^a (µg/L)	≥ 0,433	0,432 – 0,287	0,286 – 0,143	< 0,143	
		Biovolumen algal (mm ³ /L)	≥ 0,362	0,361 – 0,24	0,23 – 0,12	< 0,12	
		Índice de Catalán (IGA)	≥ 0,982	0,981 – 0,655	0,654 – 0,327	< 0,327	
		Porcentaje de cianobacterias	≥ 0,715	0,714 – 0,48	0,47 – 0,24	< 0,24	
			Bueno o superior	Moderado	Deficiente	Malo	
INDICADOR BIOLÓGICO			> 0,6	0,4-0,6	0,2-0,4	< 0,2	
			RANGOS DE VALORES				
Indicador	Elementos	Parámetros	Muy bueno	Bueno	Moderado	Deficiente	Malo
Fisicoquímico	Transparencia	Disco de Secchi (m)	>6	3-6	1, 5 -3	0, 7 -1,5	<0, 7
	Oxigenación	O ₂ hipolimnética (mg O ₂ /L)	>8	8-6	6-4	4-2	<2
	Nutrientes	Concentración de PT (µg P/L)	0-4	4-10	10-35	35-100	>100
			Muy bueno	Bueno	Moderado		
INDICADOR FISICOQUÍMICO			< 1,6	1,6 – 2,4	> 2,4		

La combinación de los dos indicadores, fisicoquímico y biológico, para la obtención del potencial ecológico normativo final sigue el esquema de decisiones indicado en la tabla 14.

Tabla 14. Combinación de los indicadores.

Indicador Biológico	Indicador Fisicoquímico	Potencial Ecológico Experimental
Bueno o superior	Muy bueno	Bueno o superior
Bueno o superior	Bueno	Bueno o superior
Bueno o superior	Moderado	Moderado
Moderado	Indistinto	Moderado
Deficiente	Indistinto	Deficiente
Malo	Indistinto	Malo

En la tabla 15 se incluye el potencial indicado por cada uno de los parámetros, así como la catalogación de la masa de agua según el potencial ecológico final (*PE_{norm}*) tras pasar el filtro del indicador fisicoquímico.

Tabla 15. Diagnóstico del potencial ecológico (*PE_{norm}*) del embalse de Irbia.

Indicador	Elementos	Parámetro	Indicador	Valor	RCE	RCET	<i>PE_{norm}</i>
Biológico	Fitoplancton	Biomasa	Clorofila <i>a</i> (µg/L)	3,25	0,80	0,86	Bueno o superior
			Biovolumen algal (mm ³ /L)	4,40	0,17	0,29	Moderado
			Media			0,57	
		Composición	<i>Índice de Catalán (IGA)</i>	0,03	1,001	1,03	Bueno o superior
			<i>Porcentaje de cianobacterias</i>	0,01	1,00	1,00	Bueno o superior
			Media			1,02	
Media global						0,80	
INDICADOR BIOLÓGICO				2			BUENO o SUPERIOR
Indicador	Elementos	Indicador	Valor			<i>PE_{norm}</i>	
Fisicoquímico	Transparencia	Disco de Secchi (m)	5,00			Bueno	
	Oxigenación	O ₂ hipolimnética (mg O ₂ /L)	4,46			Moderado	
	Nutrientes	Concentración de PT (µg P/L)	8,53			Bueno	
INDICADOR FISICOQUÍMICO				3			MODERADO
POTENCIAL ECOLÓGICO <i>PE_{norm}</i>				MODERADO			



ANEXO I. REPORTAJE FOTOGRÁFICO



Figura 6. Vista de la cola del embalse



Figura 7. Vista del punto de acceso